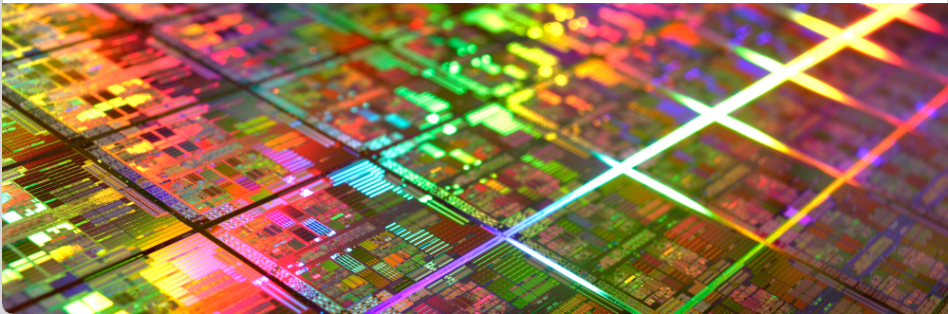


ENVELOPE - Effizienz und Zuverlässigkeit: Selbstorganisation in HPC-Systemen

Aktueller Stand

A. Brinkmann, W. Karl, S. Lankes, M. Schulz, C. Trinitis

8. Oktober 2018





- **Karlsruher Institut für Technologie**
 - Institut für Technische Informatik
 - Prof. Dr. Wolfgang Karl (Koordination)
- **Technische Universität München**
 - Lehrstuhl für Rechnerarchitektur und Parallele Systeme
 - Prof. Dr. Martin Schulz, Dr.-Ing. Carsten Trinitis
- **Johannes Gutenberg-Universität Mainz**
 - Zentrum für Datenverarbeitung
 - Prof. Dr.-Ing. André Brinkmann
- **RWTH Aachen University**
 - Institute for Automation of Complex Power Systems
 - Prof. Antonello Monti, Ph.D., Dr. rer. nat. Stefan Lankes
- **Assoziierte Partner**
 - Leibniz Rechenzentrum
 - PD Dr. rer. nat. Josef Weidendorfer
 - MEGWARE, ParTec

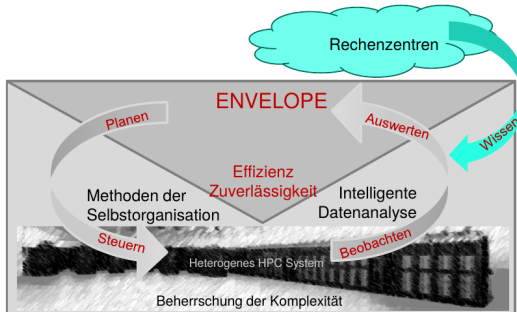


- Erhöhung der Zuverlässigkeit und Ausfallsicherheit in HPC-Systemen
- Effiziente Nutzung der zur Verfügung stehenden Ressourcen im Hinblick auf
 - Ausführungszeit
 - Energieeffizienz
- Verbergen der Komplexität heterogener HPC-Systeme vor dem Anwender

Ansatz



- Betrachtung des Systems auf mehreren Ebenen
 - Lokale Betrachtung der Rechenknoten
 - Globale Sichtweise des Systems
 - Techniken auf Anwendungsebene
- Einsatz von Methoden der Selbstorganisation
 - Vergleich von system- und anwendungsbasierten Strategien



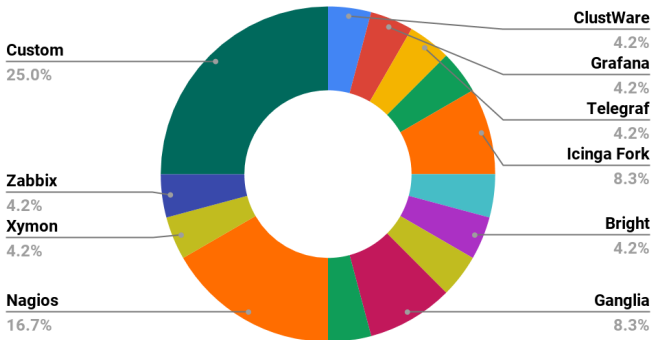


- Erhöhung der Zuverlässigkeit und Ausfallsicherheit
 - Proaktive Vorhersage von Knotenausfällen mittels Machine-Learning Modellen
 - Datenhaltungskomponenten zur Migration und Checkpointing
 - Anwendungsgesteuert
 - Containerbasiert
 - Unikernels
- Effiziente Nutzung der vorhandenen Ressourcen
 - Dynamische Abbildungsentscheidung mit unterschiedlichen Optimierungszielen
- Verbergen der Komplexität heterogener Systeme
 - Task-basiertes Laufzeitsystem mit Bibliotheksansatz

Rechenzentrumsumfrage



Which monitoring software is used?

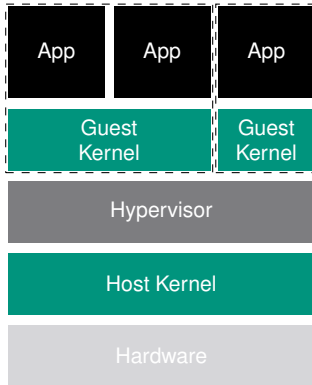




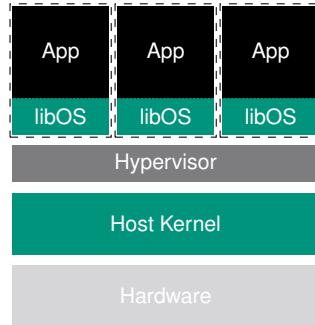
Ziel: Erstellung eines Prädiktors zur proaktiven Vorhersage von Ausfällen der Rechenknoten

- Datensammlung aus MOGON I & MOGON II an der JGU Mainz
 - IPMI (Spannung, Temperaturen), OS (CPU, Last, Speicher), Job-/Knotenzustände
- Komprimierte Daten: ~2 TB für 1 Jahr und über 500 Knoten
- Tagliche Daten: ~5 GB für 500 Knoten
- MOGON I & II benutzen Ganglia, RRD Datenbasis und Custom Daemons für die Datensammlung

Checkpointing & Migration von Unikernels



Klassische VMs

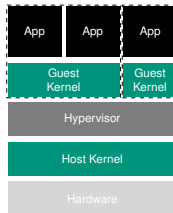


Unikernels

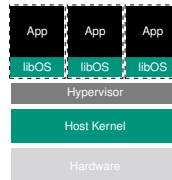
Checkpointing & Migration von Unikernels



- Nur **eine** Anwendung pro Gast
- Geteilter Adressraum zwischen Anwendung und libOS
- Hypervisor kennt den vollständigen Gaststatus
 - Eine Seitentabelle
 - Checkpointing/Migration per Page-Walk im Hypervisor
 - Klassische Parallelisierung möglich (z. B. OpenMP)
- Nutzung des Unikernels Hermitcore (<https://hermitcore.org>)



Klassische VMs

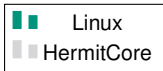
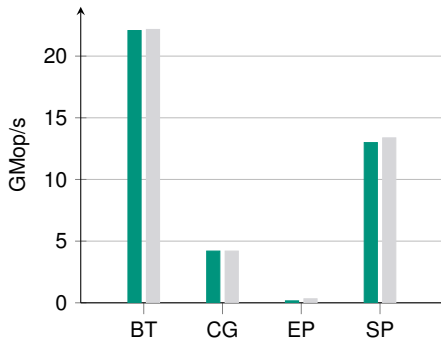


Unikernels

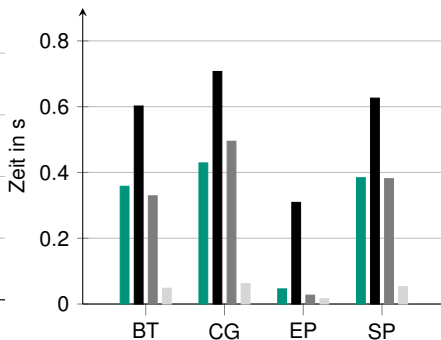
Checkpointing & Migration von Unikernels



Laufzeitoverhead



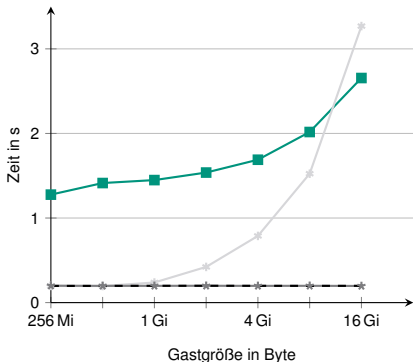
Checkpointzeit



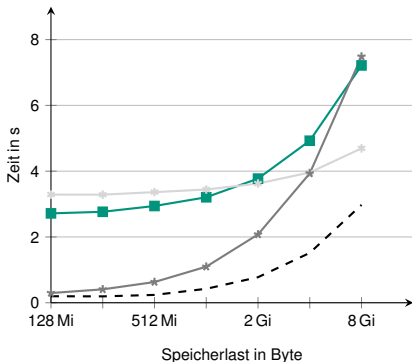
Checkpointing & Migration von Unikernels



Migration „leerer“ Gast



Migration mit Speicherlast



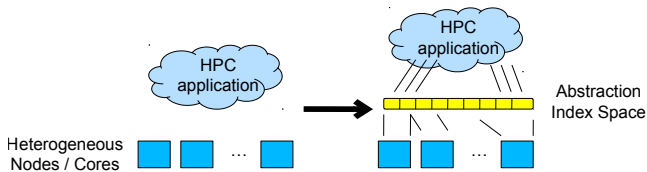
—■— QEMU —*— HermitCore —*— HermitCore (ODP) - - - HermitCore (free-list)

Datenerhaltung auf Anwendungsebene

LAIK, eine Bibliothek zur dynamischen Datenverteilung



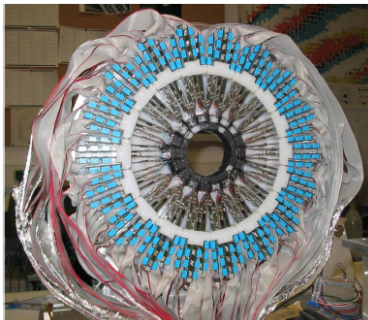
- Ermöglicht die Repartitionierung bei Ausfällen
- Einfache Portierung von existierenden Code
- Bewahrt die Skalierbarkeit von Anwendungs-codes
- Erlaubt die inkrementielle Portierbarkeit von MPI-Code
- Kontrolliert die (dynamische) Verteilung und die Kommunikation von Daten
- Datenaffinität: stellt Lokalität benötigter Daten sicher
- Deklariert, wann/welche Daten aktualisiert werden müssen



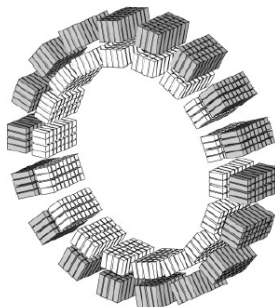
Anwendungsportierung: MLEM



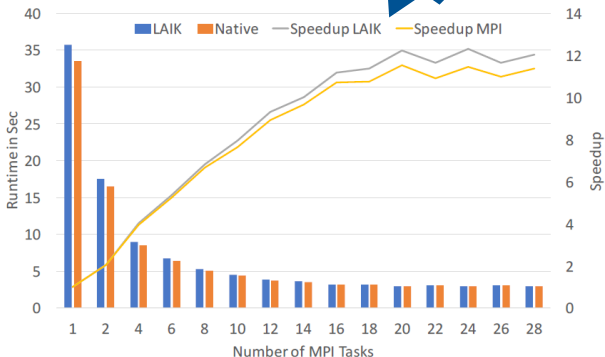
kleiner Tier-PET-Scanner MADPET-II



1152 Detektoren, 662976 Lines-of-Response
Sichtfeld 140 x 140 x 40 voxels, insgesamt 784000 voxels



Ergebnisse



Dai Yang, Josef Weidendorfer, Tilman Küstner, Carsten Trinitis and Sibylle Ziegler. Enabling Application-Integrated Proactive Fault Tolerance. Par-Co 2017, Bologna, Italy.

Zusammenfassung und Ausblick



- Framework zur Erhöhung der Fehlertoleranz
 - Anwendungsgesteuert \Rightarrow LAIK
 - Anwendungstransparent \Rightarrow Container, VMs, Unikernels
- Verfeinerung der Techniken zur Vorhersage von Ausfällen
 - Symptombasierte Fehlererkennung
 - Auswertung der Sensoren mit Hilfe von Machine Learning
- Weitere Informationen
 - Projektseite: <http://envelope.itec.kit.edu>
 - LAIK & Co.: <https://github.com/envelope-project/laik>
 - Migration von Unikernels: <https://hermitcore.org>



Backup

Symptombasierte Fehlererkennung



Aktueller Stand:

- Untersuchung verschiedener Fehlerfälle
 - Verringerung der CPU-Frequenz
 - Veränderung von Schleifenvariablen
 - Speicherleaks
 - Auslastung der Festplatte
 - Auslastung der ALU

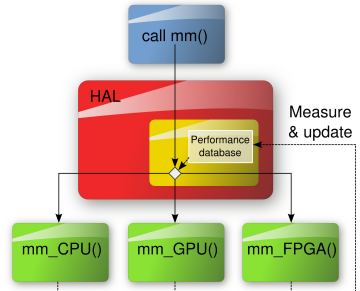
Task-basiertes Laufzeitsystem



- Bisher: Task-Abbildungsentscheidung aufgrund von Ausführungszeiten
- Ziel: Betrachtung des Energieverbrauchs bei der Abbildungsentscheidung
 - Entscheidung über Gewichtung

⇒ Performance-Datenbank um Energieverbrauch erweitert

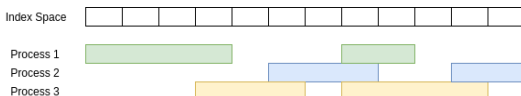
- RAPL-Counter für Intel CPUs
- NVML-Counter für NVIDIA GPUs



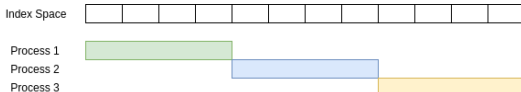
Partitionierungsbeispiel



- Allgemeine Partitionierung: mehrere Prozesse pro Index



- Disjunktive Partitionierung



- Benutzerdefinierte Partitionsalgorithmen werden unterstützt

MLEM Algorithmus



$$f_j^{(q+1)} = \frac{f_j^{(q)}}{\sum_{l=1}^n a_{lj}} \sum_{i=1}^n \frac{g_i}{\sum_{k=1}^m a_{ik} f_k^{(q)}}$$

Schritte:

- Vorwärtsprojektion $h = Af$
 - $A = (a_{ij}) \in \mathbb{R}^{n \times m}$ Wahrscheinlichkeitsmatrix
 - $f \in \mathbb{R}^m$ Bildvektor
- Korrelation $r = \frac{g_i}{h_i}$
 - $g \in \mathbb{R}^n$ Bildvektor Scanner-Ausgabe
- Rückwärtsprojektion $c = A^T r$
- Update $f^{(q+1)}_j = f_j^{(q)} c_j$

Erhöht die Wahrscheinlichkeit $p(g|f^{(q)})$ von g mit der gegebenen aktuellen Schätzung $f^{(q)}$